

# Mortalidad por cáncer de pulmón en Ohio (décadas de 1960 a 1980)

**Maria Paula Camargo Rincon\*****Laura Katherine Martínez Castiblanco†**

## Contents

|          |   |          |
|----------|---|----------|
| <b>1</b> | <b>Intriducción</b>                       | <b>1</b> |
| <b>2</b> | <b>Análisis descriptivo</b>               | <b>4</b> |
| <b>3</b> | <b>Modelo y verificación de supuestos</b> | <b>5</b> |
| <b>4</b> | <b>Concluciones</b>                       | <b>6</b> |
| <b>5</b> | <b>Revisión bibliográfica</b>             | <b>6</b> |
| <b>6</b> | <b>Bibliografía</b>                       | <b>6</b> |

## 1 Intriducción

Este conjunto de datos se deriva de un estudio de mortalidad por cáncer de pulmón en Ohio realizado entre 1969 y 1971 a nivel de condado. La base de datos `ohiolung` contiene información para los 88 condados del estado de Ohio, (EE. UU.). La base de datos proviene del GeoDa (Center for Geospatial Analysis and Computation) y presenta 42 variables. En las estas se presentan datos referentes a la mortalidad por cáncer de pulmón estratificada por género (masculino/femenino) y raza (blanca/negra), junto variables geográficas básicas.

La siguiente tabla resume las variables principales de la base de datos:

---

\*[mcamargori@unal.edu.co](mailto:mcamargori@unal.edu.co)

†[laumartinezca@unal.edu.co](mailto:laumartinezca@unal.edu.co)

Table 1: Definición de variables principales en la base de datos  
ohlung.shp

| Variable         | Descripción   |
|------------------|---|
| <b>CountyID</b>  | ID secuencial del condado (orden alfabético)  |
| <b>NAME</b>      | Nombre del condado  |
| <b>FIPSNO</b>    | Código FIPS del condado (numérico)  |
| <b>AREA</b>      | Área del polígono (condado)   |
| <b>PERIMETER</b> | Perímetro del polígono (condado)  |
| <b>RECORD_ID</b> | ID único del registro   |
| <b>COUNTYID</b>  | ID del condado  |
| <b>LGRyy</b>     | Casos de cáncer de pulmón para género G (M/F) y raza R (W/B) en año yy (1968, 1978, 1988) |
| <b>POPGRyy</b>   | Población en riesgo para género G y raza R en año yy                                      |
| <b>LGyy</b>      | Total de casos de cáncer de pulmón por género G en año yy                                 |
| <b>POPGyy</b>    | Población total en riesgo por género G en año yy  |

Hay 12 variables por año (4 combinaciones de género-raza × 3 tipos: casos detallados, población detallada, totales por género)

Table 2: Primeros 6 datos

| COUNTYID | NAME     | FIPSNO | AREA       | PERIMETER | LMW68 | POPMW68 | LMB68 |
|----------|----------|--------|------------|-----------|-------|---------|-------|
| 48       | Lucas    | 39095  | 873382000  | 164533    | 128   | 205421  | 19    |
| 26       | Fulton   | 39051  | 1054690000 | 134891    | 4     | 15521   | 0     |
| 28       | Geauga   | 39055  | 1005750000 | 146204    | 4     | 30415   | 0     |
| 86       | Williams | 39171  | 1089180000 | 136740    | 5     | 16252   | 0     |
| 18       | Cuyahoga | 39035  | 1242480000 | 173664    | 435   | 677185  | 87    |
| 62       | Ottawa   | 39123  | 634883000  | 128356    | 10    | 17638   | 0     |

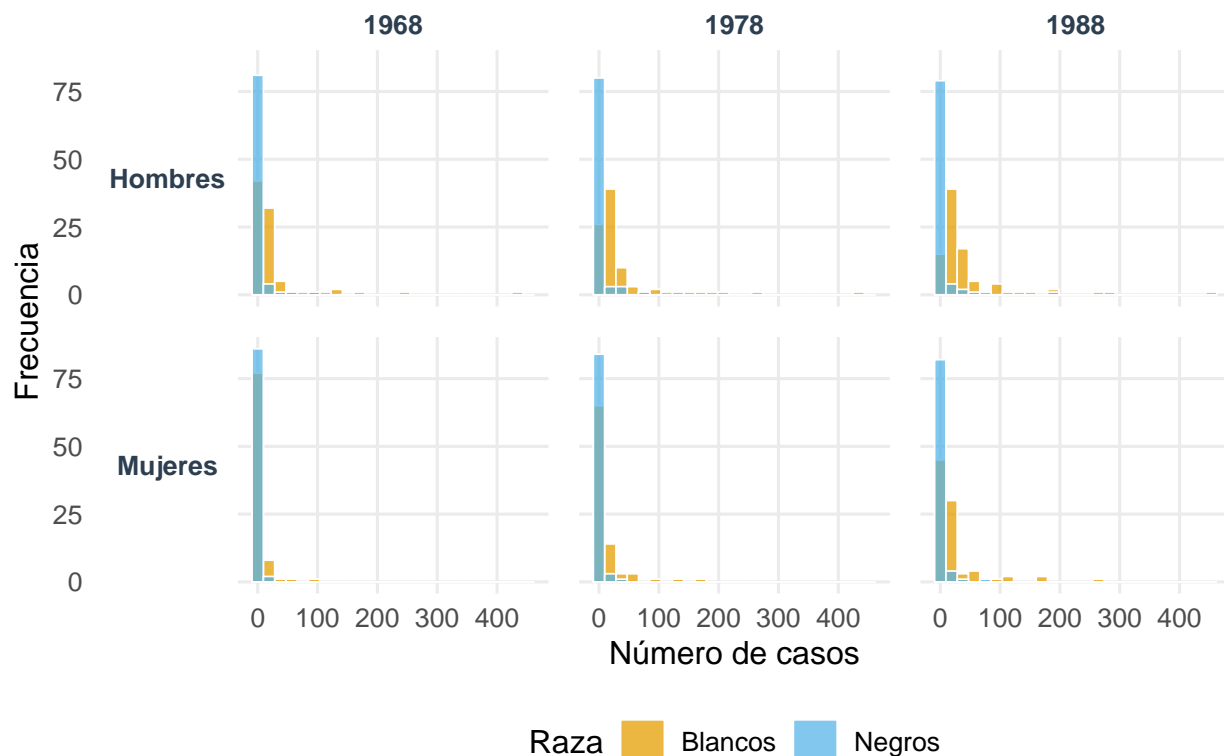
| POPMB68 | LM68 | POPM68 | LFW68 | POPFW68 | LFB68 | POPFB68 | LF68 | POPF68 | LMW78 |
|---------|------|--------|-------|---------|-------|---------|------|--------|-------|
| 25956   | 147  | 231377 | 27    | 220106  | 1     | 28527   | 28   | 248633 | 149   |
| 50      | 4    | 15571  | 1     | 16358   | 0     | 47      | 1    | 16405  | 10    |
| 472     | 4    | 30887  | 3     | 31131   | 0     | 496     | 3    | 31627  | 11    |
| 24      | 5    | 16276  | 0     | 17216   | 0     | 20      | 0    | 17236  | 7     |
| 157046  | 522  | 834231 | 88    | 734014  | 23    | 176614  | 111  | 910628 | 442   |
| 164     | 10   | 17802  | 0     | 18430   | 0     | 182     | 0    | 18612  | 8     |

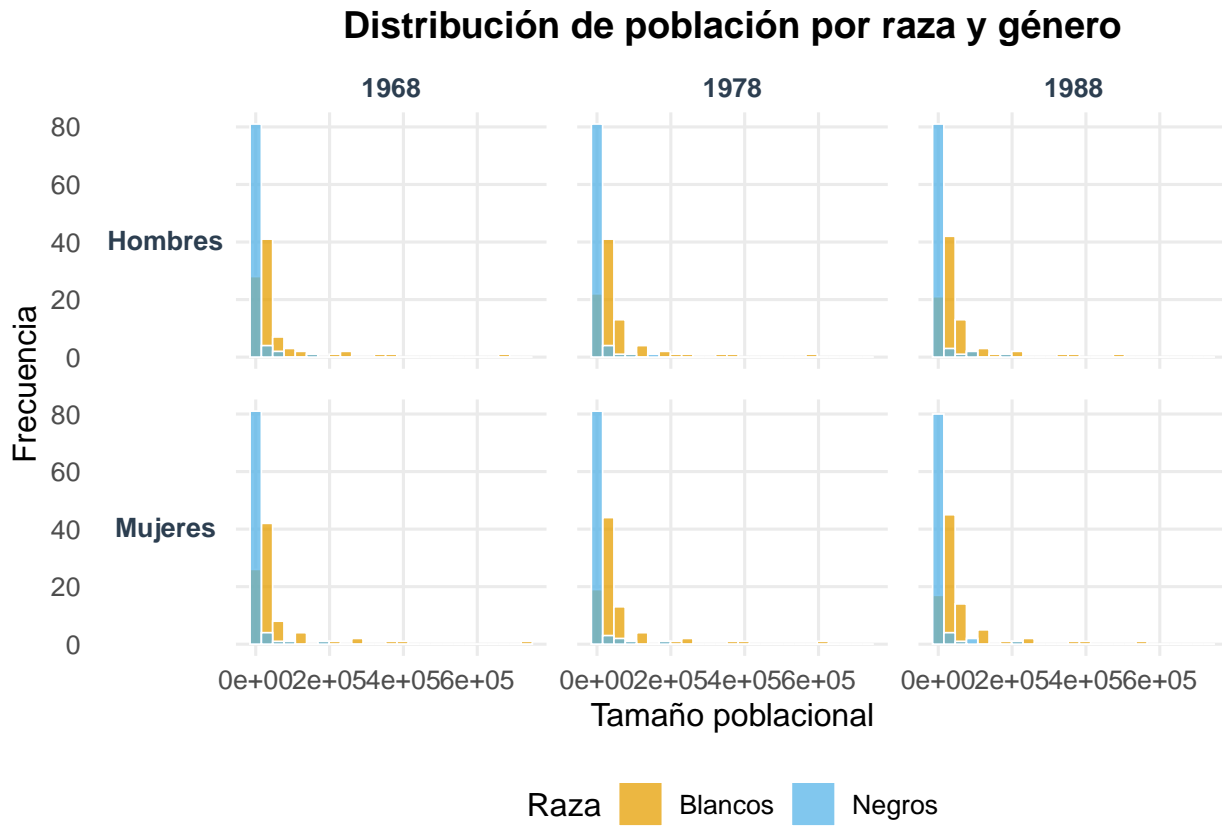
| POPMW78 | LMB78 | POPMB78 | LM78 | POPM78 | LFW78 | POPFW78 | LFB78 | POPFB78 |
|---------|-------|---------|------|--------|-------|---------|-------|---------|
| 194976  | 34    | 30252   | 183  | 225228 | 48    | 210307  | 4     | 33790   |
| 18268   | 0     | 75      | 10   | 18343  | 3     | 19080   | 0     | 70      |
| 35839   | 1     | 604     | 12   | 36443  | 3     | 36148   | 0     | 619     |
| 17678   | 1     | 44      | 8    | 17722  | 0     | 18126   | 0     | 70      |
| 567350  | 138   | 161461  | 580  | 728811 | 165   | 623107  | 36    | 186806  |
| 19756   | 0     | 170     | 8    | 19926  | 6     | 20388   | 0     | 188     |

| <b>LF78</b> | <b>POPF78</b> | <b>LMW88</b> | <b>POPMW88</b> | <b>LMB88</b> | <b>POPMB88</b> | <b>LM88</b> | <b>POPM88</b> | <b>LFW88</b> |
|-------------|---------------|--------------|----------------|--------------|----------------|-------------|---------------|--------------|
| 52          | 244097        | 150          | 185367         | 39           | 36104          | 189         | 221471        | 108          |
| 3           | 19150         | 8            | 18600          | 1            | 62             | 9           | 18662         | 2            |
| 3           | 36767         | 17           | 37759          | 1            | 1051           | 18          | 38810         | 12           |
| 0           | 18196         | 10           | 17822          | 0            | 61             | 10          | 17883         | 7            |
| 201         | 809913        | 453          | 499655         | 188          | 178432         | 641         | 678087        | 269          |
| 6           | 20576         | 16           | 19164          | 0            | 205            | 16          | 19369         | 9            |

| <b>POFFW88</b> | <b>LFB88</b> | <b>POPFB88</b> | <b>LF88</b> | <b>POPF88</b> |
|----------------|--------------|----------------|-------------|---------------|
| 200458         | 8            | 41115          | 116         | 241573        |
| 19444          | 0            | 65             | 2           | 19509         |
| 37973          | 0            | 1040           | 12          | 39013         |
| 18506          | 0            | 110            | 7           | 18616         |
| 552388         | 83           | 207628         | 352         | 760016        |
| 20063          | 1            | 221            | 10          | 20284         |

## Distribución de casos de cáncer de pulmón por raza y género





## 2 Análisis descriptivo

En esta sección se realiza una exploración exhaustiva de la base de datos con el fin de identificar relaciones entre las variables, detectar posibles transformaciones y establecer la estructura inicial del modelo de regresión lineal múltiple.

Table 7: Estadísticas descriptivas de casos y población

| Variable    | Valor  | Variable    | Valor  |
|-------------|--------|-------------|--------|
| LMW68 Media | 26.88  | LFB78 Min   | 0.00   |
| LMW68 SD    | 58.57  | LFB78 Max   | 36.00  |
| LMW68 Min   | 1.00   | LF78 Media  | 13.78  |
| LMW68 Max   | 435.00 | LF78 SD     | 29.42  |
| LMB68 Media | 3.26   | LF78 Min    | 0.00   |
| LMB68 SD    | 11.75  | LF78 Max    | 201.00 |
| LMB68 Min   | 0.00   | LFW88 Media | 22.33  |
| LMB68 Max   | 87.00  | LFW88 SD    | 41.47  |
| LM68 Media  | 30.14  | LFW88 Min   | 0.00   |
| LM68 SD     | 70.12  | LFW88 Max   | 269.00 |
| LM68 Min    | 1.00   | LFB88 Media | 2.60   |

|             |        |               |           |
|-------------|--------|---------------|-----------|
| LM68 Max    | 522.00 | LFB88 SD      | 10.49     |
| LMW78 Media | 35.82  | LFB88 Min     | 0.00      |
| LMW78 SD    | 63.42  | LFB88 Max     | 83.00     |
| LMW78 Min   | 3.00   | LF88 Media    | 24.93     |
| LMW78 Max   | 442.00 | LF88 SD       | 51.23     |
| LMB78 Media | 5.01   | LF88 Min      | 1.00      |
| LMB78 SD    | 17.79  | LF88 Max      | 352.00    |
| LMB78 Min   | 0.00   | POPMW68 Media | 52983.82  |
| LMB78 Max   | 138.00 | POPMW68 SD    | 95322.08  |
| LM78 Media  | 40.83  | POPMB68 Media | 5329.95   |
| LM78 SD     | 80.55  | POPMB68 SD    | 19460.53  |
| LM78 Min    | 3.00   | POPM68 Media  | 58313.77  |
| LM78 Max    | 580.00 | POPM68 SD     | 114110.27 |
| LMW88 Media | 43.01  | POPMW78 Media | 53411.91  |
| LMW88 SD    | 68.72  | POPMW78 SD    | 85016.85  |
| LMW88 Min   | 2.00   | POPMB78 Media | 5915.57   |
| LMW88 Max   | 453.00 | POPMB78 SD    | 20732.39  |
| LMB88 Media | 6.22   | POPM78 Media  | 59327.48  |
| LMB88 SD    | 23.11  | POPM78 SD     | 104851.91 |
| LMB88 Min   | 0.00   | POPMW88 Media | 52407.83  |
| LMB88 Max   | 188.00 | POPMW88 SD    | 79338.55  |
| LM88 Media  | 49.23  | POPMB88 Media | 6799.70   |
| LM88 SD     | 90.40  | POPMB88 SD    | 23382.85  |
| LM88 Min    | 2.00   | POPM88 Media  | 59207.53  |
| LM88 Max    | 641.00 | POPM88 SD     | 101568.08 |
| LFW68 Media | 6.12   | POPFW68 Media | 56094.52  |
| LFW68 SD    | 12.68  | POPFW68 SD    | 102927.37 |
| LFW68 Min   | 0.00   | POPFB68 Media | 5862.83   |
| LFW68 Max   | 88.00  | POPFB68 SD    | 21878.07  |
| LFB68 Media | 0.62   | POPF68 Media  | 61957.35  |
| LFB68 SD    | 2.82   | POPF68 SD     | 124072.32 |
| LFB68 Min   | 0.00   | POPFW78 Media | 56682.57  |
| LFB68 Max   | 23.00  | POPFW78 SD    | 92507.22  |
| LF68 Media  | 6.75   | POPFB78 Media | 6638.98   |
| LF68 SD     | 15.32  | POPFB78 SD    | 23892.41  |
| LF68 Min    | 0.00   | POPF78 Media  | 63321.55  |
| LF68 Max    | 111.00 | POPF78 SD     | 115408.59 |
| LFW78 Media | 12.45  | POPFW88 Media | 55763.84  |
| LFW78 SD    | 24.74  | POPFW88 SD    | 86678.27  |
| LFW78 Min   | 0.00   | POPFB88 Media | 7650.48   |
| LFW78 Max   | 165.00 | POPFB88 SD    | 27083.88  |
| LFB78 Media | 1.33   | POPF88 Media  | 63414.32  |
| LFB78 SD    | 4.85   | POPF88 SD     | 112456.93 |

### 3 Modelo y verificación de supuestos

- Establecer un modelo multivariado a partir de una base de datos histórica de licuación a nivel mundial.

- *Caracterización geotécnica de materiales del subsuelo del área de estudio, a partir de información secundaria.*
  - *Tratamiento de datos de información secundaria en procura de obtener correlaciones entre datos del ensayo SPT y los datos derivados de la exploración indirecta (VS30).*
  - *Aplicar modelo definido de evaluación de potencial de licuación y generar la espacialización del potencial de licuación para el área de estudio.*
  - *Diseñar y presentar metodología de estudio y zonificación de licuación apropiada para las zonas aluvial, lacustre y llanura de inundación de Bogotá.*
- 

## 4 Concluciones

Aquí solo incluir lo que sugiere el consultante si lo hizo, de lo contrario dejar en blanco

## 5 Revisión bibliográfica

**Fuentes propuestas por los consultantes:**

- @gareth2021introduction
- @pena2013analisis
- @schoenberg1935remarks
- @corradino1990proximity

**Fuentes consultadas por el grupo:**

- @bib2
  - @lapointe1994classification
- 

## 6 Bibliografía